

УДК 621.378.325

**ИНЖЕКЦИОННЫЕ ЛАЗЕРЫ
СПЕКТРАЛЬНОГО ДИАПАЗОНА 2.0—2.4 мкм,
РАБОТАЮЩИЕ ПРИ КОМНАТНОЙ ТЕМПЕРАТУРЕ**

*И. В. Акимова, А. Э. Бочкарев, Л. М. Долгинов, А. Е. Дракин,
Л. В. Дружинина, П. Г. Елисеев, Б. Н. Свердлов, В. А. Скрипкин*

Методом жидкофазной эпитаксии изготовлены двойные гетероструктуры с активным слоем InGaSbAs, излучающие при 300 К в интервале длин волн 2.0—2.4 мкм. Впервые созданы инжекционные лазеры на 2.3—2.4 мкм (наиболее длинноволновые неохлаждаемые лазеры). Пороговая плотность тока составила 5.4 кА/см² при $\lambda = 2$ мкм и 7.6 кА/см² при $\lambda = 2.4$ мкм. Получен непрерывный режим генерации при охлаждении жидким азотом. Данна оценка волноводного эффекта в лазерной гетероструктуре.

Для освоения широкого спектрального диапазона ИК излучения используются источники и фотоприемники на основе четверных твердых растворов соединений A^{III}B^V [1, 2]. Для диапазона 2—3 мкм перспективна система InGaSbAs [3], изопериодическая с GaSb. Инжекционный лазер на гетероструктуре InGaSbAs/GaSb был впервые создан в [4] в диапазоне ~1.9 мкм; позднее были осуществлены лазерные гетероструктуры с InGaSbAs в активном слое и AlGaSbAs в широкозонных эмиттерах [5—8], позволившие продвинуть длинноволновую границу неохлаждаемых инжекционных лазеров до 2.3—2.4 мкм [6, 8]. Данная гетеросистема обладает рядом особенностей в отличие, скажем, от гетеросистемы InGaAsP/InP. Так, показатель преломления InGaSbAs на рабочей длине волн с продвижением в сторону длинных волн не увеличивается, а уменьшается [9], что затрудняет получение оптического ограничения, если в качестве широкозонного материала используется GaSb или AlGaSbAs с малым содержанием Al. Что касается электронного ограничения, то в гетеропереходе InGaSbAs/GaSb, по-видимому, оно не обеспечивается для дырок в указанном слое ввиду аномального знака разрыва валентной зоны. Кроме того, с продвижением в длинноволновую область (т. е. с добавлением In и As в InGaSbAs) возникают трудности, обусловленные тенденцией к расслоению четверного твердого раствора. Химико-термодинамическая неустойчивость этого раствора проявляется, в частности, в том, что при жидкофазной эпитаксии сокращаются температурный диапазон выращивания и диапазон величины пересыщения жидкой фазы, дающего эпитаксиальную структуру с приемлемой морфологией. Тем не менее оказалось возможным создание лабораторных образцов лазерных диодов, излучающих в диапазоне длин волн 1.8—2.4 мкм, перспективном с точки зрения практического применения в системах лазерной связи на новых видах волоконных световодов.

В настоящей работе изучены лазеры на основе двойных гетероструктур с активным слоем $In_xGa_{1-x}Sb_{1-y}As_y$ и эмиттерными слоями $Al_xGa_{1-x}Sb_{1-y}As_y$, изготовленных методом жидкофазной эпитаксии. Впервые представлены детальные экспериментальные данные о неохлаждаемых инжекционных лазерах с длинами волн 2.2—2.4 мкм, а также проведено их сравнение с другими лазерами длинноволнового диапазона (1.5—1.8 мкм). Обращено внимание на волноводные свойства разработанных гетероструктур и показано, что в них имеется заметное оптическое ограничение в вертикальном сечении.

1. Методические вопросы изготовления образцов

Лазерные гетероструктуры выращивались жидкокристаллическим методом на подложках (100) GaSb *n*- или *p*-типа, легированными соответственно Te или Si (концентрации носителей в обоих случаях около 10^{18} см $^{-3}$). Плотность дислокаций

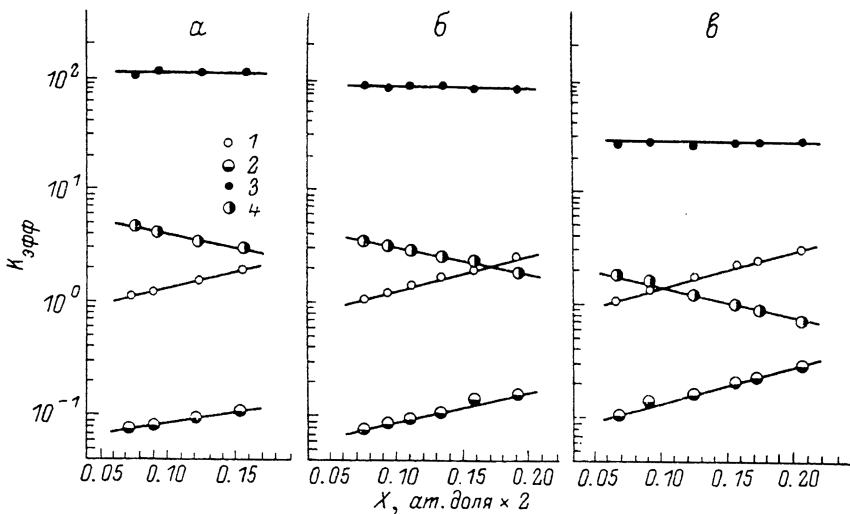


Рис. 1. Эффективные коэффициенты распределения макрокомпонентов в зависимости от температуры (*a* — 713, *b* — 773, *c* — 873 К) проведения процесса ЖФЭ и состава твердого раствора $\text{In}_x\text{Ga}_{1-x}\text{Sb}_{1-y}\text{As}_y$.

1 — Ga, 2 — In, 3 — As, 4 — Sb.

ций в подложках составляла не более 10^3 см $^{-2}$. Процесс роста осуществлялся в сдвиговых контейнерах гребенчатого типа [¹⁰], допускающих механическую очистку жидкой фазы от окисной пленки на ее поверхности. Для системы

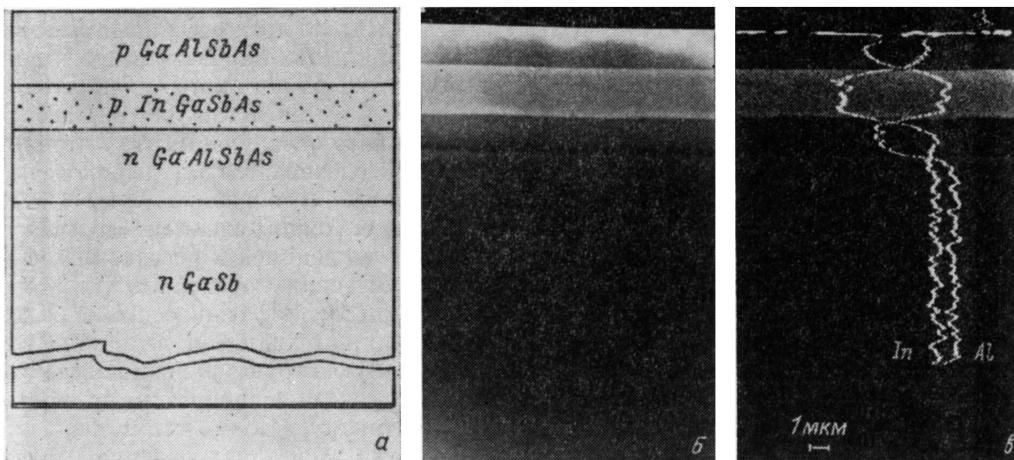


Рис. 2. Схема (*a*) и фотография скола гетероструктуры в растровом электронном микроскопе во вторичных (*b*) и отраженных (*c*) электронах. Показаны также треки микроанализа на In и Al (светлые линии).

AlGaSbAs использовался раствор—расплав на основе Ga, причем условие изопериодичности с GaSb принималось в виде $y' = 0.09x'(1 + 0.06x')$, согласно [^{1, 9}]. Использовались составы $x' = 0 - 0.28$ и $y' = 0 - 0.02$. Для системы InGaSbAs условие изопериодичности с GaSb имеет вид [¹] $y = 0.87x/(1 - 0.05x)$. Выращи-

вание этого твердого раствора проводилось из раствора—расплава на основе In и Ga. Диапазон составов был следующим: $x=0$ — 0.21 и $y=0$ — 0.17 . Легирующими примесями были Ge (для p -эмиттера) и Te (для n -эмиттера). Активный слой не легировался (p -тип).

Изменение эффективных коэффициентов распределения макрокомпонентов системы InGaSbAs в зависимости от состава твердого раствора в температурном интервале, приемлемом для проведения процессов эпитаксии, показано на рис. 1. Контакт раствора—расплава InGaSbAs с подложкой GaSb (или эпитаксиальным слоем AlGaSbAs) при температуре ликвидуса приводил к неконтролируемому подрастворению твердой фазы.

Типичная гетероструктура показана на рис. 2 (справа — вид скола в сканирующем электронном микроскопе с данными рентгеновского микроанализа). Первый (от подложки) эмиттерный слой имел толщину 1—3 мкм, активный слой 0.5—2 мкм, верхний эмиттерный слой 2—3 мкм.

Составы слоев, определенные с помощью рентгеновского микроанализа, приведены в табл. 1. Большинство образцов имеет отклонения от согласования

Таблица 1
Серии изученных образцов по данным микроанализа (в ат. %)

λ , мкм, (300 K)	$n = Al_x/Ga_{1-x}Sb_{1-y'}As_{y'}$		$In_xGa_{1-x}Sb_{1-y}As_y$		$p = Al_{x''}Ga_{1-x''}Sb_{1-y''}As_{y''}$	
	x'	y'	x	y	x''	y''
2.0	27	2.3	8	7	30	3—4
2.2	28	2	15—16	12—14	28	0.5—2
2.25	10	0.8	16—18	12—15	10	0
2.3	12.7	0.8	19.5	16.2	12.5	0
2.4	28	2	20.6	15.2	27	0.7
2.1 (люм.)	0	0	9—10	7—9	0	0

периодов решетки в пределах $\pm 0.1\%$. На всех образцах получена сравнимая по интенсивности люминесценция. Наибольшие трудности методического характера были связаны с получением совершенной морфологии эпитаксиальных гетероструктур, в особенности, второго и третьего слоев.

Для дальнейших исследований изготавливались диоды с четырьмя сколами (высокодобротные резонаторы) различных размеров и с плоскими (типа Фабри—Перо) резонаторами. Были также изготовлены планарные полосковые лазеры с шириной контакта 12—14 мкм и изоляцией SiO_2 в одном случае и с анодным окислением в другом. Нанесение SiO_2 осуществлялось методом высокочастотного распыления с предварительным ионным травлением пластины. Полосковые окна изготавливались фотолитографическим методом, металлизация поверхности производилась с помощью термического напыления. Диоды изготавливались сканированием, причем длина резонатора составляла 200—300 мкм.

2. Спектральные и пороговые характеристики

В освоенном интервале композиций $0 < x \leq 0.21$, $0 < y \leq 0.17$ получен ряд излучающих гетероструктур с длиной волны от 1.77 до 2.40 мкм. Генерация лазерного излучения наблюдалась в диапазоне 77—320 K в импульсном режиме, а при 77 K также в непрерывном режиме. Большинство изученных образцов имело сколотые четырехсторонние резонаторы с высокой добротностью за счет малого внешнего выхода. Вследствие этого на образцах с такими резонаторами сравнительно легче получить генерацию, чем на образцах с резонаторами типа Фабри—Перо (пороговая плотность тока ниже в 1.5—2 раза). В данных исследованиях не ставилась задача оптимизации мощностных характеристик; генерация в высокодобротных резонаторах свидетельствовала о том, что модовое усиление в резонаторе превысило внутренние оптические потери.

Линии лазерного излучения возникали на фоне полосы люминесценции, ширина которой при токе плотностью $\sim 1 \text{ кA}/\text{см}^2$ составляла 72—76 мэВ при 300 К. Температурная спектральная перестройка соответствовала коэффициенту $dE/dT = -3.3 \cdot 10^4 \text{ эВ}/\text{К}$. Это вело к смещению лазерной линии, например, от

2.4 мкм при 300 К до 2.1 мкм при 77 К. Температурные зависимости энергии фотона лазерного излучения для двух образцов показаны на рис. 3.

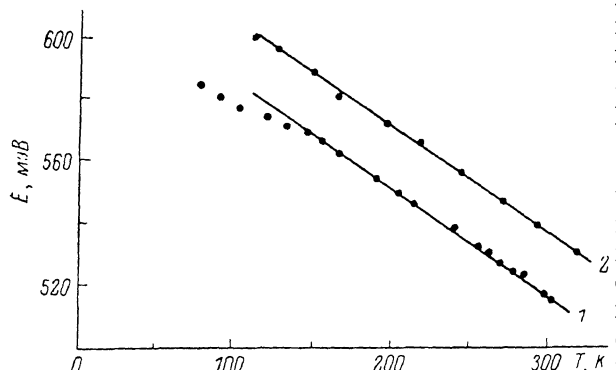


Рис. 3. Температурная зависимость энергии фотона лазерного излучения в двух образцах: гетероструктура на *n*-подложке в активном слое $x=0.21$, $y=0.15$ (1); гетероструктура на *p*-подложке в активном слое $x=0.19$, $y=0.16$ (2).

прямозонной структуре (аналогичной зонной структуре AlSb). Сопоставление по величине j_t/d , где d — толщина активного слоя, т. е. по величине нормированной пороговой плотности тока (приведенной к толщине $d=1$ мкм), показывает, что в диапазоне 1.8—2.4 мкм качество лазерного материала сравнимо. Нормированная пороговая плотность составляет $5-7 \text{ кA}/\text{см}^2$, что также мало отличается от соответствующих оценок для более коротковолновых диапазонов (с оговоркой, что в данном случае имеются в виду наиболее добротные резонаторы). Результаты, полученные в [7] на длине волны 2.2 мкм, также согласуются с новыми данными.

Минимальная пороговая плотность тока составляла $\sim 1.5 \text{ кA}/\text{см}^2$ на 1.8 мкм при толщине активного слоя GaSb около 0.3 мкм. На длинах волн 2.0 и 2.4 мкм получены соответственно значения 5.4 и $7.6 \text{ кA}/\text{см}^2$ (толщины 1 и 1.6 мкм). Минимальная нормированная пороговая плотность тока на 2.4 мкм составила $4.75 \text{ кA}/\text{см}^2 \cdot \text{мкм}$.

Температурная зависимость порогового тока (рис. 5) вблизи комнатной температуры характеризовалась константой T_0 в интервале 60—80 К, как и в лазерах на InGaAsP [10]. В некоторых образцах получено снижение порога ниже $200-150 \text{ А}/\text{см}^2$ при 77 К, что позволило наблюдать генерацию в непрерывном режиме при охлаждении жидким азотом. Минимальный пороговый ток составил 52 мА ($\sim 0.1 \text{ кA}/\text{см}^2$) на длине волны 2.1 мкм.

Таким образом, в описанных лазерах пороговые характеристики лучших образцов сопоставимы во всем диапазоне 1.8—2.4 мкм, если иметь в виду нормированную пороговую плотность тока. В изученных длинноволновых образцах толщина активной области весьма велика, обычно около 1 мкм и более, что дает j_t в диапазоне 5—10 $\text{kA}/\text{см}^2$, т. е. заметно больше, чем в более коротковолновых лазерах (на GaSb, а также на InGaAsP).

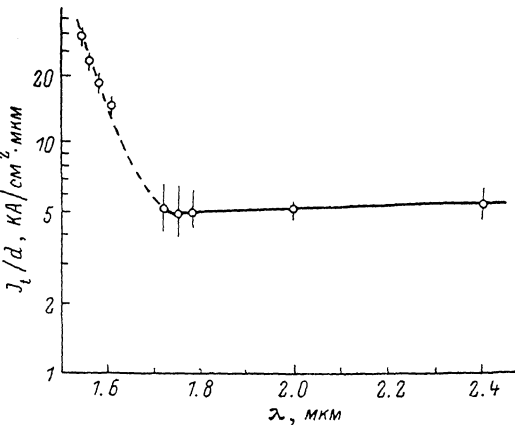


Рис. 4. Нормированная на стандартную толщину активного слоя (1 мкм) пороговая плотность тока в лазерах диапазона 1.6—2.4 мкм. $T=300$ К.

3. Направленность излучения и волноводные характеристики

Пример диаграммы направленности излучения длинноволнового лазера ($\lambda=2.255$ мкм) в плоскости, перпендикулярной активному слою, показан на рис. 6. Толщина активного слоя составляла 1.4 мкм, а полный угол дифракционной расходимости Θ_{\perp} был равен 44° . Бесструктурность диаграммы и не-

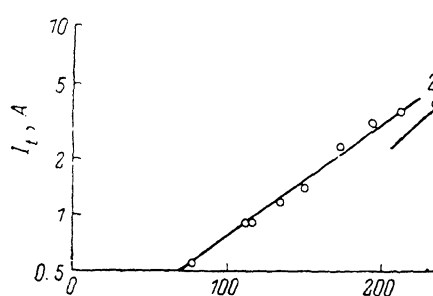


Рис. 5. Температурная зависимость порогового тока в лазере с четырехсторонним сколотым резонатором (длина волны 2.38 мкм при 300 К). $T_0=59$ (1) и 75 К (2).

изменность Θ_{\perp} при увеличении тока свидетельствуют о генерации основной пространственной моды активного волновода. Анализ угла расходимости (по аналогии с расчетами в [9] с использованием формул для Θ_{\perp} из [11]) приводит к выводу, что скачок диэлектрической проницаемости на границе $\text{In}_x\text{Ga}_{1-x}\text{Sb}_{1-y}\text{As}_y/\text{Al}_x\text{Ga}_{1-x}\text{Sb}_{1-y}\text{As}_y$, положителен (т. е. в ДГС имеется волноводный эффект) и составляет 0.925 при $x=0.19$ и $x'=0.15$ (на длине волны излучения узкозонного материала). Абсолютные значения показателей преломления четверных систем известны недостаточно надежно. В [9] даны расчетные значения, полученные с помощью модели модифицированного синглетного осциллятора, для обеих интересующих нас систем. Ввиду сложной формы дисперсионных криевых для InGaSbAs более надежным представляется расчет по указанной модели для AlGaSbAs . Он дает для $x'=0.15$ и $\lambda=2.255$ мкм значение показателя преломления $n=3.384$. Тогда с учетом данных по расходимости излучения получим

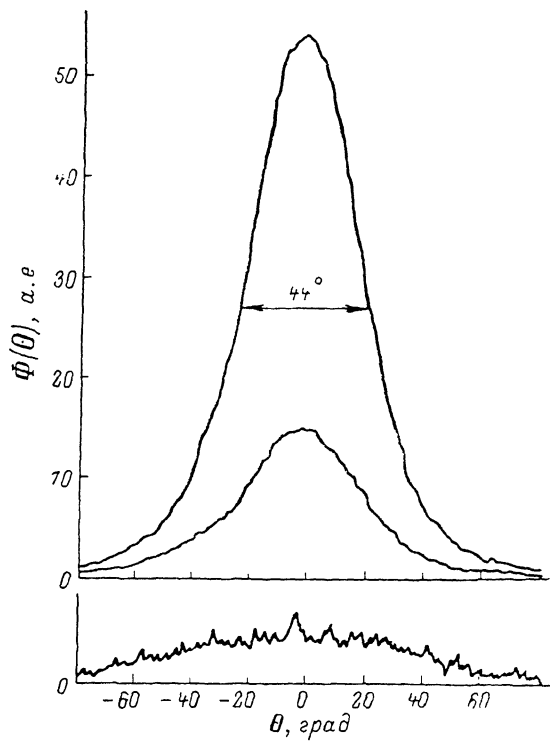


Рис. 6. Диаграмма направленности в вертикальном сечении при нескольких значениях тока накачки в лазере с длиной волны 2.255 мкм (300 К).

в InGaSbAs $n=3.8076$ (при $x=0.19$ и $\lambda=2.255$ мкм) и $\Delta n/n=3.2\%$. Это заметно превышает расчетные $\Delta n/n \approx 1\%$, что ведет к необходимости уточнения расчетов, по-видимому, в первую очередь для InGaSbAs . Таким образом, в изученных гетероструктурах имеется заметный волноводный эффект, что позволяет рассчитать в качестве оптимальной толщины $d=0.54$ мкм; это приводит к оценке минимальной пороговой плотности при достигнутых излучательных характеристиках среды на уровне $5-7 \text{ kA/cm}^2$.

Таблица 2

Сравнительные характеристики направленности излучения и волноводов в инжекционных лазерах на двухсторонних гетероструктурах (300 К)

Активная среда	Пассивная среда	λ , мкм	d , мкм	Θ_{\perp} , град	Примечание
GaAs	AlGaAs $x = 0.40$	0.87	1.0	40—50	$\Delta n/n \approx 5\%$
GaSb	AlGaSbAs $x = 0.25$	1.77	0.6	45	По расчету 46° [9]; $\Delta n/n = 3.94\%$ [8]
InGaSbAs $x = 0.19$ $x = 0.20$	AlGaSbAs $x = 0.45$ $x = 0.32$	2.255 2.38	1.4 1.6	44 54	$\Delta n/n = 3.2\%$ (наст. раб.)

Сравнение характеристик направленности (Θ_{\perp}) в лазерах на разные длины волн дано в табл. 2. Значительная расходимость излучения в вертикальном сечении обусловлена волноводным эффектом в гетероструктурах этого типа, вследствие которого оптический поток практически полностью удерживается в активном слое.

В полосковых лазерах изучалась направленность в горизонтальном сечении, которая связана с размерами области свечения под полосковым контактом. Близи порога генерации расходимость составила 17° , что в дифракционном пределе соответствует излучающему пятну в ближней зоне шириной около 8 мкм. Эта оценка находится в согласии с предполагаемым размером пространственного канала одномодовой генерации при ширине полоскового контакта 12 мкм. По межмодовому расстоянию определен эффективный («групповой») показатель для лазеров этого типа, равный $n^* = 4.21$.

Заключение

В данной работе впервые в мировой практике осуществлены неохлаждаемые инжекционные лазеры на длине волны 2.4 мкм, что соответствует значительному расширению спектрального диапазона, перекрываемого лазерами этого типа и соответствующего теперь 0.67—2.4 мкм. По-видимому, материал InGaSbAs является оптимальным для освоения интервала длин волн 1.8—2.4 мкм, несмотря на ожидавшиеся аномалии в поведении волноводного эффекта и разрывов краев зон. Предстоит детальное изучение этих параметров в разработанных структурах и их влияния на лазерные характеристики. Это позволит оптимизировать волноводную и резонаторную геометрию лазеров и улучшить их мощностные характеристики. Основные результаты данной работы сводятся к следующему.

1. Созданы и изучены инжекционные лазеры в диапазоне 1.8—2.4 мкм, работающие в импульсном режиме при комнатной температуре.

2. Создан лазер, работающий в непрерывном режиме на длине волны 2.1 мкм при охлаждении жидким азотом.

3. Установлено, что в разработанных гетероструктурах имеется оптический волновод с $\Delta n/n \approx 3.3\%$, обеспечивающий заметное оптическое ограничение. Однако для понижения порога будет целесообразным увеличить Δn за счет повышения содержания Al в эмиттерных слоях, а также использовать структуры с трехслойными волноводами [12].

Литература

- [1] Долгинов Л. М., Елисеев П. Г., Мильвидский М. Г. Квант. электр., 1976, т. 3, № 7, с. 1384—1393.
- [2] Алферов Ж. И., Гарбузов Д. З., Долгинов Л. М. и др. Вестник АН СССР, 1978, № 4, с. 31—36.
- [3] Долгинов Л. М., Дружинина Л. В., Елисеев П. Г. и др. А. с. № 581755. — Опубл. в Б. И., 1981, № 11.
- [4] Долгинов Л. М., Дружинина Л. В., Елисеев П. Г. и др. Квант. электр., 1978, т. 5, № 3, с. 703—704.

- [5] Kobayashi N., Horikoshi Y., Uemura C. Japan. J. Appl. Phys., 1980, v. 19, N 1, p. 83—88.
- [6] Бочкарев А. Э., Долгинов Л. М., Дракин А. Е. и др. Квант. электр., 1985, т. 12, № 6, с. 1309—1311.
- [7] Caneau C., Srivastava A. K., Dentai A. G. Electron. Lett., 1965, v. 21, N 18, p. 815—817.
- [8] Бочкарев А. Э., Долгинов Л. М., Дракин А. Е. и др. Квант. электр., 1986, т. 13, № 10, с. 2119—2120.
- [9] Долгинов Л. М., Дракин А. Е., Дружинина Л. В. и др. Тр. ФИАН, 1983, т. 141, с. 46—61.
- [10] Долгинов Л. М., Елисеев И. Г., Исмаилов И. Сб. «Итоги науки и техники». Радиотехника, М.: ВИНИТИ, 1980, т. 21, с. 3—115.
- [11] Botez D., Ettenberg M. IEEE J. Quant. Electron., 1978, v. QE-14, p. 827—834.
- [12] Drakin A. E., Eliseev P. G., Sverdlov D. N. et al. Electronics Lett., 1984, v. 20, N 13, p. 559—561.

Физический институт
им. П. Н. Лебедева
АН СССР
Москва

Поступило в Редакцию
27 октября 1986 г.